

Clasificación algorítmica en gráficas de tipo \mathbb{D}_n

Rey David Gutiérrez Torres
Daniel Rivera López

Universidad Autónoma del Estado de Morelos

30 de junio de 2020

Índice

- 1 Conceptos y relaciones
- 2 Algoritmo de las inflaciones
- 3 Caso \mathbb{A}_n
- 4 Descripción de el problema
- 5 Componentes triconexas
- 6 Planteamiento de el problema

Matriz de Cartan simétrica

Definición

- Una matriz $A \in \mathcal{M}_{n \times n}(\mathbb{Z})$ es **casi Cartan simétrica** si A es simétrica y $(A)_{ii} = 2$ para toda $i = 1, \dots, n$.
- Se denotan por sqC .

Ejemplo

$$\begin{pmatrix} 2 & -2 & 1 & 0 \\ -2 & 2 & -1 & 0 \\ 1 & -1 & 2 & 1 \\ 0 & 0 & 1 & 2 \end{pmatrix}$$

Matriz de Cartan simétrica

Definición

- Una matriz $A \in \mathcal{M}_{n \times n}(\mathbb{Z})$ es **casi Cartan simétrica** si A es simétrica y $(A)_{ii} = 2$ para toda $i = 1, \dots, n$.
- Se denotan por sqC .

Ejemplo

$$\begin{pmatrix} 2 & -2 & 1 & 0 \\ -2 & 2 & -1 & 0 \\ 1 & -1 & 2 & 1 \\ 0 & 0 & 1 & 2 \end{pmatrix}$$

Matriz de Cartan simétrica

Definición

- Una matriz $A \in \mathcal{M}_{n \times n}(\mathbb{Z})$ es **casi Cartan simétrica** si A es simétrica y $(A)_{ii} = 2$ para toda $i = 1, \dots, n$.
- Se denotan por sqC .

Ejemplo

$$\begin{pmatrix} 2 & -2 & 1 & 0 \\ -2 & 2 & -1 & 0 \\ 1 & -1 & 2 & 1 \\ 0 & 0 & 1 & 2 \end{pmatrix}$$

Forma cuadrática

- Una forma cuadrática es un polinomio $q : \mathbb{R}^n \rightarrow \mathbb{R}$ con $n > 0$ si cada monomio del mismo es una variable al cuadrado o la multiplicación de dos variables. Esto es equivalente a decir que q se puede expresar como:

$$q(x_1, x_2, \dots, x_n) = \sum_{i=1}^n q_{ii} x_i^2 + \sum_{1 \leq i < j \leq n} q_{ij} x_i x_j$$

- Una forma cuadrática unitaria es un caso especial donde $q_{ii} = 1$

Forma unitaria asociada a una matriz casi Cartan

Matriz casi-Cartan simétrica \leftrightarrow Forma unitaria

$$\begin{aligned}
 \mathbf{q}_A(\mathbf{x}) &= \frac{1}{2} \mathbf{x}^T \mathbf{A} \mathbf{x} \\
 &= \frac{1}{2} \left(\sum_{i=1}^n \sum_{j=1}^n (A)_{ij} x_i x_j \right) \\
 &= \frac{1}{2} \left(\sum_{i=1}^n (A)_{ii} x_i^2 + 2 \sum_{1 \leq i < j \leq n} (A)_{ij} x_i x_j \right) \\
 &= \sum_{i=1}^n x_i^2 + \sum_{1 \leq i < j \leq n} (A)_{ij} x_i x_j.
 \end{aligned}$$

Forma unitaria asociada a una matriz casi Cartan

Matriz casi-Cartan simétrica \leftrightarrow Forma unitaria

$$\begin{aligned} \mathbf{q}_A(\mathbf{x}) &= \frac{1}{2} \mathbf{x}^T \mathbf{A} \mathbf{x} \\ &= \frac{1}{2} \left(\sum_{i=1}^n \sum_{j=1}^n (\mathbf{A})_{ij} x_i x_j \right) \\ &= \frac{1}{2} \left(\sum_{i=1}^n (\mathbf{A})_{ii} x_i^2 + 2 \sum_{1 \leq i < j \leq n} (\mathbf{A})_{ij} x_i x_j \right) \\ &= \sum_{i=1}^n x_i^2 + \sum_{1 \leq i < j \leq n} (\mathbf{A})_{ij} x_i x_j. \end{aligned}$$

Forma unitaria asociada a una matriz casi Cartan

Matriz casi-Cartan simétrica \leftrightarrow Forma unitaria

$$\begin{aligned} \mathbf{q}_A(\mathbf{x}) &= \frac{1}{2} \mathbf{x}^T \mathbf{A} \mathbf{x} \\ &= \frac{1}{2} \left(\sum_{i=1}^n \sum_{j=1}^n (\mathbf{A})_{ij} x_i x_j \right) \\ &= \frac{1}{2} \left(\sum_{i=1}^n (\mathbf{A})_{ii} x_i^2 + 2 \sum_{1 \leq i < j \leq n} (\mathbf{A})_{ij} x_i x_j \right) \\ &= \sum_{i=1}^n x_i^2 + \sum_{1 \leq i < j \leq n} (\mathbf{A})_{ij} x_i x_j. \end{aligned}$$

Forma unitaria asociada a una matriz casi Cartan

Matriz casi-Cartan simétrica \leftrightarrow Forma unitaria

$$\begin{aligned}
 \mathbf{q}_A(\mathbf{x}) &= \frac{1}{2} \mathbf{x}^T \mathbf{A} \mathbf{x} \\
 &= \frac{1}{2} \left(\sum_{i=1}^n \sum_{j=1}^n (\mathbf{A})_{ij} x_i x_j \right) \\
 &= \frac{1}{2} \left(\sum_{i=1}^n (\mathbf{A})_{ii} x_i^2 + 2 \sum_{1 \leq i < j \leq n} (\mathbf{A})_{ij} x_i x_j \right) \\
 &= \sum_{i=1}^n x_i^2 + \sum_{1 \leq i < j \leq n} (\mathbf{A})_{ij} x_i x_j.
 \end{aligned}$$

Forma unitaria asociada a una matriz casi Cartan

Definición

Una matriz casi Cartan simétrica A es **definida positiva** si y sólo si $q_A(x) = \frac{1}{2}x^T A x > 0$, para toda $x \in \mathbb{Z}$ con $x \neq 0$.

Bigráfica asociada a una matriz casi Cartan

Matriz casi-Cartan simétrica \leftrightarrow Bigráfica

Teorema

Sea $A \in M_n(\mathbb{Z})$ una matriz casi Cartan simétrica y definida positiva sean $i, j \in \{1, 2, \dots, n\}$, entonces,

(a) $0 \leq A_{ij}A_{ji} < 4$

(b) $A_{ij} \in \{-1, 0, 1\}$

La bigráfica $\text{bigr}(A)$ asociada a la matriz A tiene vértices $\{1, 2, \dots, n\}$, y para cada par de vértices i, j con $i \neq j$:

- 1 Si $A_{ij} = -1 = A_{ji}$ trazamos una arista sólida entre los vértices, $(i) \text{ — } (j)$
- 2 Si $A_{ij} = 1 = A_{ji}$ trazamos una arista punteada entre los vértices, $(i) \cdots (j)$

Bigráfica asociada a una matriz casi Cartan

Matriz casi-Cartan simétrica \leftrightarrow Bigráfica

Teorema

Sea $A \in M_n(\mathbb{Z})$ una matriz casi Cartan simétrica y definida positiva sean $i, j \in \{1, 2, \dots, n\}$, entonces,

- (a) $0 \leq A_{ij}A_{ji} < 4$
- (b) $A_{ij} \in \{-1, 0, 1\}$

La bigráfica **bigr**(A) asociada a la matriz A tiene vértices $\{1, 2, \dots, n\}$, y para cada par de vértices i, j con $i \neq j$:

- 1 Si $A_{ij} = -1 = A_{ji}$ trazamos una arista sólida entre los vértices, $(i) \text{ — } (j)$
- 2 Si $A_{ij} = 1 = A_{ji}$ trazamos una arista punteada entre los vértices, $(i) \cdots (j)$

Bigráfica asociada a una matriz casi Cartan

Matriz casi-Cartan simétrica \leftrightarrow Bigráfica

Teorema

Sea $A \in M_n(\mathbb{Z})$ una matriz casi Cartan simétrica y definida positiva sean $i, j \in \{1, 2, \dots, n\}$, entonces,

(a) $0 \leq A_{ij}A_{ji} < 4$

(b) $A_{ij} \in \{-1, 0, 1\}$

La bigráfica **bigr**(A) asociada a la matriz A tiene vértices $\{1, 2, \dots, n\}$, y para cada par de vértices i, j con $i \neq j$:

❶ Si $A_{ij} = -1 = A_{ji}$ trazamos una arista solida entre los vértices, $\textcircled{i} \text{---} \textcircled{j}$

❷ Si $A_{ij} = 1 = A_{ji}$ trazamos una arista punteada entre los vértices, $\textcircled{i} \cdots \textcircled{j}$

Bigráfica asociada a una matriz casi Cartan

Matriz casi-Cartan simétrica \leftrightarrow Bigráfica

Teorema

Sea $A \in M_n(\mathbb{Z})$ una matriz casi Cartan simétrica y definida positiva sean $i, j \in \{1, 2, \dots, n\}$, entonces,

- (a) $0 \leq A_{ij}A_{ji} < 4$
- (b) $A_{ij} \in \{-1, 0, 1\}$

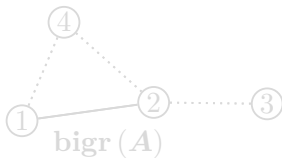
La bigráfica **bigr**(A) asociada a la matriz A tiene vértices $\{1, 2, \dots, n\}$, y para cada par de vértices i, j con $i \neq j$:

- ❶ Si $A_{ij} = -1 = A_{ji}$ trazamos una arista sólida entre los vértices, $\textcircled{i} \text{---} \textcircled{j}$
- ❷ Si $A_{ij} = 1 = A_{ji}$ trazamos una arista punteada entre los vértices, $\textcircled{i} \cdots \textcircled{j}$

Equivalencia de conceptos

Ejemplo

$$A = \begin{pmatrix} 2 & -1 & 0 & 1 \\ -1 & 2 & 1 & 1 \\ 0 & 1 & 2 & 0 \\ 1 & 1 & 0 & 2 \end{pmatrix}$$

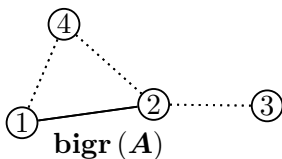


$$q_A(x_1, x_2, x_3, x_4) = x_1^2 + x_2^2 + x_3^2 + x_4^2 - x_1x_2 + x_1x_4 + x_2x_3 + x_2x_4$$

Equivalencia de conceptos

Ejemplo

$$A = \begin{pmatrix} 2 & -1 & 0 & 1 \\ -1 & 2 & 1 & 1 \\ 0 & 1 & 2 & 0 \\ 1 & 1 & 0 & 2 \end{pmatrix}$$

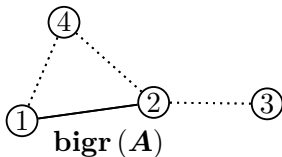


$$q_A(x_1, x_2, x_3, x_4) = x_1^2 + x_2^2 + x_3^2 + x_4^2 - x_1x_2 + x_1x_4 + x_2x_3 + x_2x_4$$

Equivalencia de conceptos

Ejemplo

$$A = \begin{pmatrix} 2 & -1 & 0 & 1 \\ -1 & 2 & 1 & 1 \\ 0 & 1 & 2 & 0 \\ 1 & 1 & 0 & 2 \end{pmatrix}$$



$$\mathbf{q}_A(x_1, x_2, x_3, x_4) = x_1^2 + x_2^2 + x_3^2 + x_4^2 - x_1x_2 + x_1x_4 + x_2x_3 + x_2x_4$$

Z-equivalencia

Definiciones

- Una matriz $M \in \mathcal{M}_{n \times n}(\mathbf{Z})$ es \mathbf{Z} -invertible si tiene inversa $M^{-1} \in \mathcal{M}_{n \times n}(\mathbf{Z})$.
- $A, A' \in \text{sqC}$ son \mathbf{Z} -equivalentes si existe una matriz \mathbf{Z} -invertible M tal que $A' = M^T A M$.

Z-equivalencia

Definiciones

- Una matriz $M \in \mathcal{M}_{n \times n}(\mathbf{Z})$ es \mathbf{Z} -invertible si tiene inversa $M^{-1} \in \mathcal{M}_{n \times n}(\mathbf{Z})$.
- $A, A' \in \text{sqC}$ son \mathbf{Z} -equivalentes si existe una matriz \mathbf{Z} -invertible M tal que $A' = M^T A M$.

Diagramas de Dynkin

- Todas las bigráficas conexas, definidas positivas, de aristas sólidas:

Familia

$A_n, n \geq 1$

Gráfica



$D_n, n \geq 4$



$E_n, 6 \leq n \leq 8$



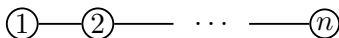
Diagramas de Dynkin

- Todas las bigráficas conexas, definidas positivas, de aristas sólidas:

Familia

$A_n, n \geq 1$

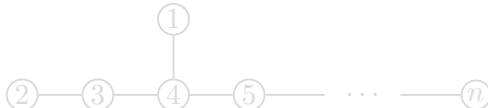
Gráfica



$D_n, n \geq 4$



$E_n, 6 \leq n \leq 8$



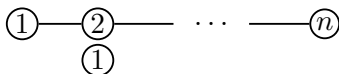
Diagramas de Dynkin

- Todas las bigráficas conexas, definidas positivas, de aristas sólidas:

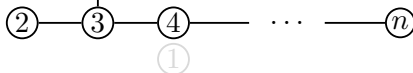
Familia

$A_n, n \geq 1$

Gráfica



$D_n, n \geq 4$



$E_n, 6 \leq n \leq 8$



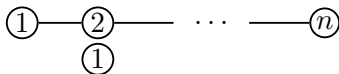
Diagramas de Dynkin

- Todas las bigráficas conexas, definidas positivas, de aristas sólidas:

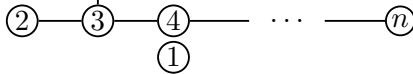
Familia

$A_n, n \geq 1$

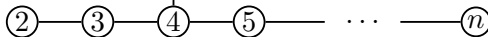
Gráfica



$D_n, n \geq 4$



$E_n, 6 \leq n \leq 8$



La clasificación $A - D - E$

Teorema (S. Ovsienko – 1978)

Toda bigráfica G conexa y definida positiva es \mathbb{Z} -equivalente a un diagrama de Dynkin.

Demostración.

Demostración constructiva mediante el **algoritmo de las inflaciones**. □

Inflaciones

Definiciones

- I denota la matriz identidad con vectores columna e_j .
- $E_{sr}^\sigma := I + \sigma e_s e_r^T$ ($s, r \in \{1, \dots, n\}$, $\sigma \in \mathbb{R}$) denota una **matriz elemental** de suma de renglones/columnas.
- Si $A \in \text{sqC}$ y $(A)_{sr} = 1$ entonces $(E_{sr}^{-1})^T A (E_{sr}^{-1})$ es una **inflación** de A .

Inflaciones

Definiciones

- I denota la matriz identidad con vectores columna e_j .
- $E_{sr}^\sigma := I + \sigma e_s e_r^T$ ($s, r \in \{1, \dots, n\}$, $\sigma \in \mathbb{R}$) denota una **matriz elemental** de suma de renglones/columnas.
- Si $A \in \text{sqC}$ y $(A)_{sr} = 1$ entonces $(E_{sr}^{-1})^T A (E_{sr}^{-1})$ es una **inflación** de A .

Inflaciones

Definiciones

- I denota la matriz identidad con vectores columna e_j .
- $E_{sr}^\sigma := I + \sigma e_s e_r^T$ ($s, r \in \{1, \dots, n\}$, $\sigma \in \mathbb{R}$) denota una **matriz elemental** de suma de renglones/columnas.
- Si $A \in \text{sqC}$ y $(A)_{sr} = 1$ entonces $(E_{sr}^{-1})^T A (E_{sr}^{-1})$ es una **inflación** de A .

Algoritmo de las inflaciones

Algoritmo de las inflaciones

función inflaciones(A):

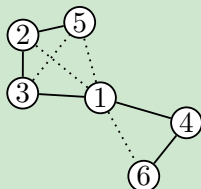
repetir mientras *exista una entrada no diagonal*

$(A)_{sr} = 1 :$

$A := (E_{sr}^{-1})^T A (E_{sr}^{-1})$

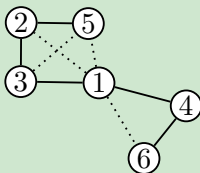
Interpretación gráfica

Ejemplo ($T_{15}(G)$)



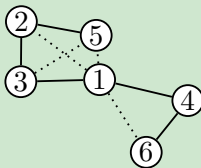
Interpretación gráfica

Ejemplo ($T_{15}(G)$)



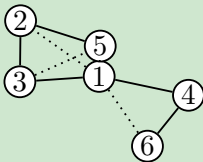
Interpretación gráfica

Ejemplo ($T_{15}(G)$)



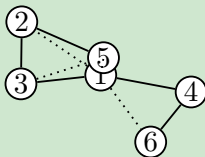
Interpretación gráfica

Ejemplo ($T_{15}(G)$)



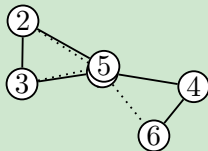
Interpretación gráfica

Ejemplo ($T_{15}(G)$)



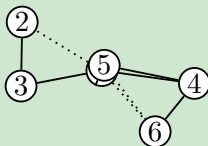
Interpretación gráfica

Ejemplo ($T_{15}(G)$)



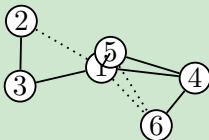
Interpretación gráfica

Ejemplo ($T_{15}(G)$)



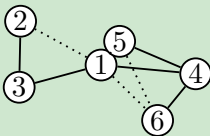
Interpretación gráfica

Ejemplo ($T_{15}(G)$)



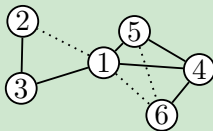
Interpretación gráfica

Ejemplo ($T_{15}(G)$)



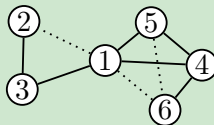
Interpretación gráfica

Ejemplo ($T_{15}(G)$)



Interpretación gráfica

Ejemplo ($T_{15}(G)$)

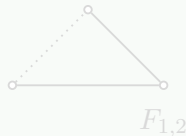
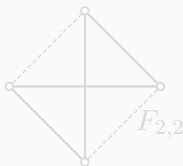


\mathbb{A} -bloques

Definiciones

- Sean X y Y conjuntos disjuntos de vértices. Denotamos por $F[X, Y]$ el bigrafo no separable obtenido uniendo cada par de vértices (x, y) con $x \in X$ e $y \in Y$ por una arista sólida, y todos los demás pares de vértices por una arista punteada, tal bigrafo se llama un \mathbb{A} bloque.

Ejemplo

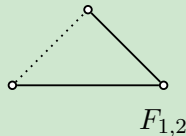
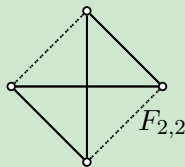
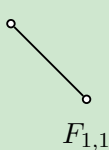


\mathbb{A} -bloques

Definiciones

- Sean X y Y conjuntos disjuntos de vértices. Denotamos por $F[X, Y]$ el bigrafo no separable obtenido uniendo cada par de vértices (x, y) con $x \in X$ e $y \in Y$ por una arista sólida, y todos los demás pares de vértices por una arista punteada, tal bigrafo se llama un \mathbb{A} bloque.

Ejemplo



Vértices de corte

Definición (F. Harary – 1969)

Sea G una gráfica.

- $\kappa(G)$ denota a la cantidad de componentes conexas de G .
- $v \in V(G)$ es un **vértice de corte** si $\kappa(G) < \kappa(G - v)$.

Ejemplo



Vértices de corte

Definición (F. Harary – 1969)

Sea G una gráfica.

- $\kappa(G)$ denota a la cantidad de componentes conexas de G .
- $v \in V(G)$ es un **vértice de corte** si $\kappa(G) < \kappa(G - v)$.

Ejemplo



Vértices de corte

Definición (F. Harary – 1969)

Sea G una gráfica.

- $\kappa(G)$ denota a la cantidad de componentes conexas de G .
- $v \in V(G)$ es un **vértice de corte** si $\kappa(G) < \kappa(G - v)$.

Ejemplo



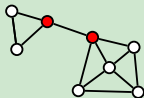
Vértices de corte

Definición (F. Harary – 1969)

Sea G una gráfica.

- $\kappa(G)$ denota a la cantidad de componentes conexas de G .
- $v \in V(G)$ es un **vértice de corte** si $\kappa(G) < \kappa(G - v)$.

Ejemplo



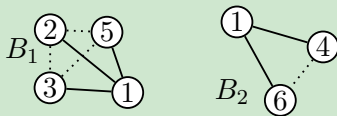
Lema

Todo A -bloque es de tipo A_n

Lema

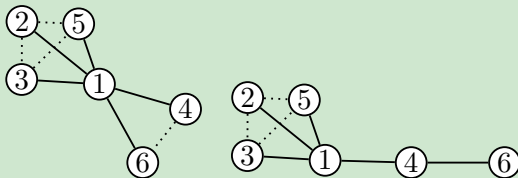
Sean B_1 y B_2 A -bloques entonces $B_1 + B_2$ es un A -bloque

Ejemplo

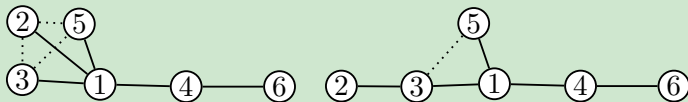


A-bloques

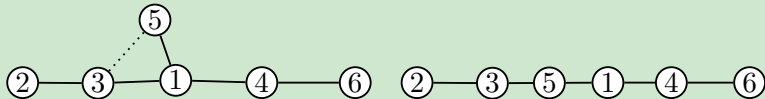
Ejemplo ($T_{46}(G)$)



Ejemplo ($T_{32}(G)$)



Ejemplo ($T_{53}(G)$)

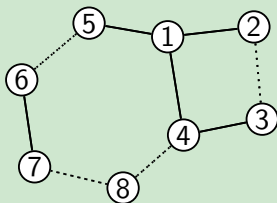


Ahora para tres \mathbb{A} -bloques pegados me fijo en un punto de corte y uno dos \mathbb{A} -bloques en uno y al final me quedan dos \mathbb{A} bloques que son de tipo \mathbb{A}_n y se cumple el lema anterior y esto seria equivalente para n -bloques.

Definiciones

Una bigráfica cumple la condición de ciclo si todo ciclo tiene un número impar de aristas punteadas.

Ejemplo



\mathbb{D} -nucleo

- Una bigráfica cíclica $H = x_1 - x_2 - \cdots - x_h - x_1$ (todos los x_i distintos para $1 \leq i \leq h$) que satisface la condición de ciclo.
- A esta bigráfica H le llamaremos el \mathbb{D} -núcleo.

Descripción de el problema

- El problema propuesto es la clasificación algorítmica en gráficas de tipo \mathbb{D}_n
- Para esto se propone usar el algoritmo de componentes triconexas para caracterizar las de tipo \mathbb{D}_n

Algoritmo de Componentes triconexas

- 1 Divide las aristas múltiples para formar enlaces triples y un grafo biconexo simple G' .
- 2 Encuentra los componentes de separación de G' .
- 3 Combina los enlaces triples y triángulos en enlaces y polígonos.

Componentes triconexas

Sea $G = (V, E)$ un multigráfo y sea $H = (W, F)$ un subgráfo de G , definimos una relación de equivalencia sobre $E - F$ como sigue:

Definiciones

- 1 $\forall e \in E - F, e \approx e.$
- 2 $\forall e, f \in E - F, e \approx f$ si y solo si existe un camino que une e, f que no tiene un vértice en W .

Componentes triconexas

Si $H = \{\{a, b\}, \emptyset\}$, las clases de equivalencia son llamadas clases de separación relativas al par $\{a, b\}$.

Definiciones

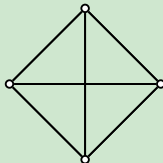
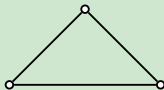
- Sean S_1, S_2, \dots, S_k , las clases de separación relativas al par (a, b) . Si existe una partición (A, B) de $\{1, 2, \dots, k\}$ tal que $|E_1 = \bigcup_{i \in A} S_i| \geq 2$ y $|E_2 = \bigcup_{j \in B} S_j| \geq 2$, decimos que $\{a, b\}$ es un par de separación.

Componentes triconexas

Definiciones

- Si G es biconexa y G no tiene par de separación entonces G es triconexa.

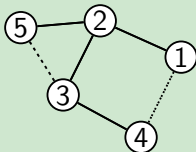
Ejemplo



La operación de división

Sea G el bigrafo y $H = \{\{2, 3\}, \emptyset\}$

Ejemplo



La clase de equivalencia de $2-5$ es el conjunto:

$$S_1 = \{2-5, 5 \cdots 3\}$$

La clase de equivalencia de $1 \cdots 4$ es el conjunto:

$$S_2 = \{2 \cdots 1, 1-4, 4-3\}$$

La clase de equivalencia de $2-3$ es el conjunto:

$$S_3 = \{2-3\}$$

La operación de división

Para saber si $\{2, 3\}$ es un par de separación hay que encontrar una partición de $\{1, 2, 3\} = A \cup B$, $A \cap B = \{\emptyset\}$ tal que se cumple que $|E_1 = \bigcup_{i \in A} S_i| \geq 2$ y $|E_2 = \bigcup_{j \in B} S_j| \geq 2$.

En este caso $A = \{1, 3\}$, $B = \{2\}$ es una partición posible que buscamos y entonces $\{2, 3\}$ es un par de separación.

La operación de división

Ahora supongamos $\{a, b\}$ es un par de separación.

Si $H = \{\{a, b\}, \emptyset\}$ y S_1, S_2, \dots, S_k son las clases de separación del par $\{a, b\}$ (las clases de equivalencia definidas por H).

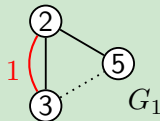
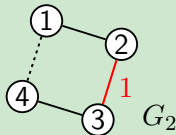
Sea A, B la partición del conjunto $\{1, 2, \dots, k\}$ tal que $|E_1 = \bigcup_{i \in A} S_i| \geq 2$ y $|E_2 = \bigcup_{j \in B} S_j| \geq 2$.

Si $H_1 = (V(E_1), E_1)$ y $H_2 = (V(E_2), E_2)$ entonces,
 $V(E_1) \cap V(E_2) = \{a, b\}$ donde la arista $a-b$ es llamada arista
 virtual.

Sea $G_i = H_i + a-b$ para $i \in \{1, 2\}$.
 Las G_i son los bigrafos de división de G en $\{a, b\}$.

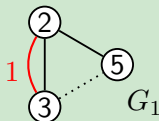
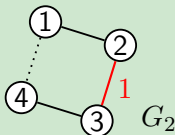
Donde $A = \{1, 3\}$ y $B = \{2\}$

Ejemplo



La operación de división

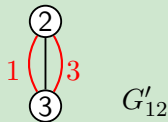
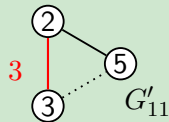
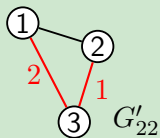
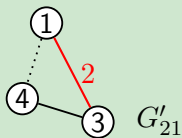
Ejemplo



- Como G_1 y G_2 no son triconexas (tiene pares de separación) entonces, supongamos que sabemos que $\{1, 3\}$ es un par de separación de G_2 y el mismo par $\{2, 3\}$ es un par de separación de G_1 entonces,

La operación de división

Ejemplo



- Ahora tenemos componentes triconexos. Estos son llamados componentes de división.

La operación de división

El siguiente resultado es debido a Hopcroft and Tarjan.

Lema

El número total de aristas en todos los componentes de división no excede $3|E| - 6$

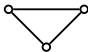
La operación de unión

- Sean H_1 y H_2 componentes de división de G tal que ambas contengan la misma arista virtual $\textcircled{a} \overset{n}{-} \textcircled{b}$
- Combinamos estos dejando que $H = H_1 + H_2 - (a, b, n)$.

La operación de unión

Pero solo vamos a fusionar los componentes de división de la siguiente forma:

① Fusionamos  tanto como sea posible

② Fusionamos  tanto como sea posible.

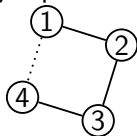
El conjunto final de grafos es llamado conjunto completo de componentes de triconexas.

Lema

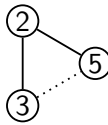
Un conjunto completo de componentes triconexas es único hasta isomorfismo.

- La conjetura es que la clasificación quedara como las componentes triconexas completas son bloques de tipo A_n .
- Me tomo un grafo le quito sus componentes biconexas y compruebo que todas excepto una componente son A -bloques ahora para comprobar que la componente biconexa que no es A -bloque es de tipo D_n utilizo el algoritmo de descomposición en componentes triconexas.

- Del conjunto de componentes triconexas nos interesa recuperar los componentes biconexas, por ejemplo de



G'_{21}, G'_{22} obtenemos la subgráfica inducida, y de



G'_{11} y G'_{12} es otra subgráfica inducida

- en este caso el conjunto completo de componentes biconexas.
- De este ejemplo tenemos que una subgráfica cumple la condición de ciclo y una que es un \mathbb{A} -bloque. por lo tanto G es de tipo \mathbb{D}_5 .

Bibliografía I



M. Abarca & D. Rivera

Graph Theoretical and Algorithmic Characterizations of Positive Definite Symmetric Quasi-Cartan Matrices.

Fundamenta Informaticae. 149(3):241–261, 2016.



Kiem-Phong Vo

Finding triconnected components of graphs.

Linear and Multilinear Algebra. 13:2, 143-165, 1983



M. Abarca.

Algoritmo Para Decidir si una Forma Unitaria es de Tipo \mathbb{A}_n (Tesis de Licenciatura). 2011